

Verifica del Modello Standard

- Scoperta delle correnti deboli neutre in camera a bolle.
- Asimmetrie avanti-indietro nel processo $e^+e^- \rightarrow \mu^+\mu^-$.
- Produzione dello Z e del W al collider SPPS.
- Il collider e^+e^- LEP.
- Misura della massa e delle larghezze parziali e totale dello Z.
- Misura del numero di famiglie di neutrini leggeri.
- Produzione di coppie di W al LEP.
- Verifica dell'esistenza del vertice triplo di bosoni di gauge.

Correnti neutre

- Il Modello Standard prevede l'esistenza di correnti deboli neutre (scambio dello Z) che hanno un'intensità dello stesso ordine di grandezza di quello delle correnti cariche.
- Ricordiamo che i processi di corrente neutra erano già stati cercati nell'ambito dei decadimenti dei K, ad esempio:



in questi due decadimenti si può pensare che la coppia di leptoni abbia origine dal decadimento di uno Z virtuale.

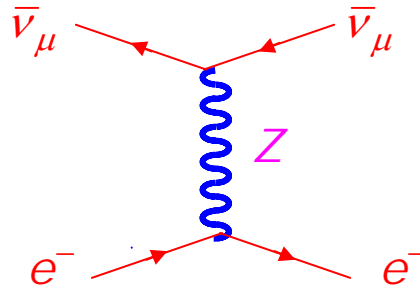
- Sperimentalmente si osserva che questi decadimenti sono altamente soppressi. A livello albero non si osservano correnti neutre con violazione di stranezza.
- La ricerca di correnti neutre fu quasi abbandonata, anche perché se risulta possibile lo scambio di uno Z, lo è altrettanto quello di un fotone e quest'ultimo maschera completamente il contributo dello Z, data la diversa intensità delle interazioni deboli e di quelle elettromagnetiche a basse energie.
- La ricerca delle correnti neutre riprese vigore dalla previsione del Modello Standard dell'esistenza dello Z e dal fatto che nel 1970 Veltmann e 't Hooft dimostrarono che la teoria era rinormalizzabile.
- Gli unici processi di corrente neutra in cui è possibile isolare lo scambio dello Z da quello del fotone riguardano l'interazione dei neutrini, nei quali il fotone non partecipa.
- La scoperta delle correnti neutre fu fatta al CERN nel 1973 da A. Lagarrigue e collaboratori utilizzando la camera a bolle Gargamelle riempita di freon (CF_3Br). La camera era esposta ad un fascio di neutrini e antineutrini derivanti dal decadimento in volo di pioni, quindi erano principalmente neutrini muonici.
- Lo scopo dell'esperimento era quello di trovare degli stati finali senza muoni. I muoni derivano da processi di corrente carica.
- L'esperimento dimostrò l'esistenza delle correnti deboli neutre, e quindi dello Z, e permise la prima misura dell'angolo di Weinberg: $\sin^2\theta_W$ tra 0.3 e 0.4.

Correnti neutre

- Primo evento di corrente neutra: Gargamelle (1973)



Questo processo può avvenire soltanto con lo scambio di uno Z nel canale t

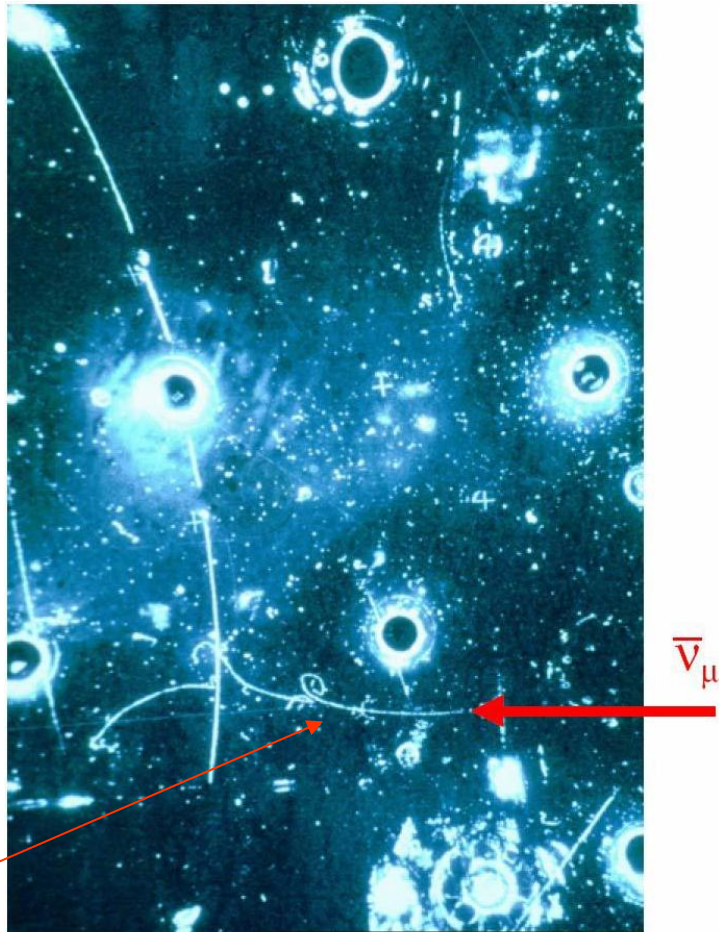


- Al CERN furono osservati 3 eventi di questo tipo su $1.4 \cdot 10^6$ beam pulse (cicli di accelerazione), con circa 10^9 antineutrini per ciclo. La presa dati durò circa due anni.

- La sezione d'urto del processo è molto piccola: $\frac{\sigma}{E_{\nu}} \approx 10^{-42} \text{ cm}^2 \cdot \text{GeV}^{-1}$

Si osserva un elettrone che parte dal “nulla” in mezzo alla camera a bolle

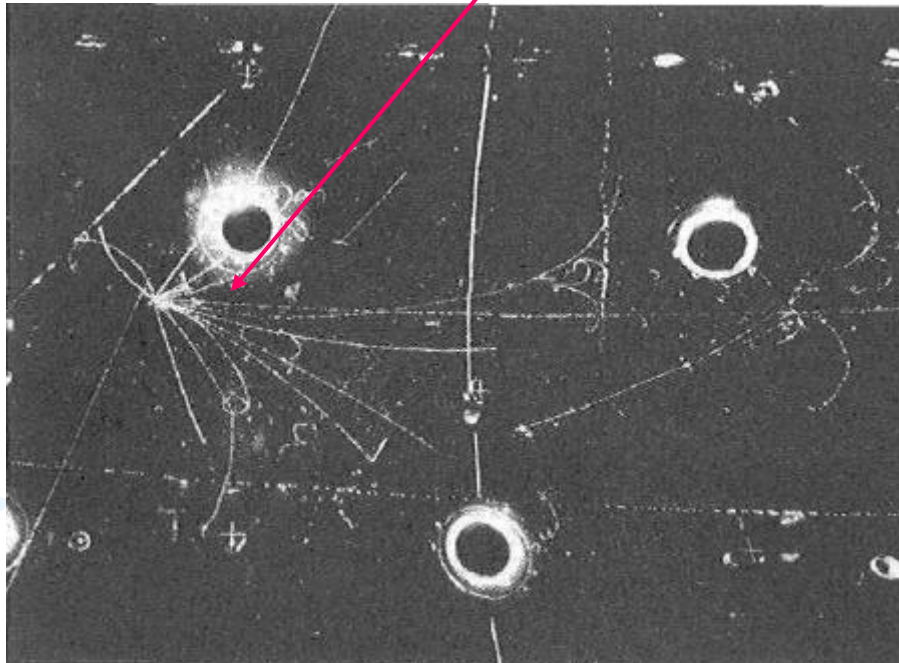
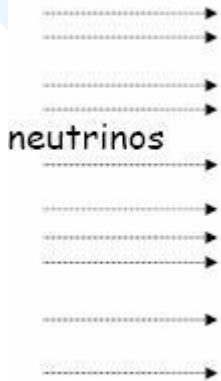
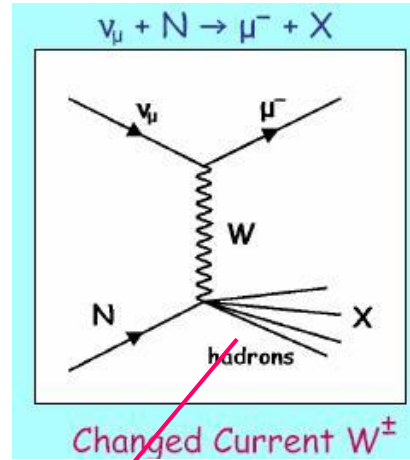
L'elettrone si riconosce dalla sua perdita di energia per bremsstrahlung (e con la susseguente produzione di coppie da parte del fotone).



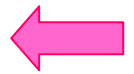
elettrone

Correnti cariche "adroniche"

- Nelle correnti deboli cariche si ha lo scambio di un W. Queste sono identificate sperimentalmente dalla presenza di un muone nello stato finale.
- Il segno della carica del muone dipende se lo scattering è dovuto ad un neutrino oppure a un antineutrino.



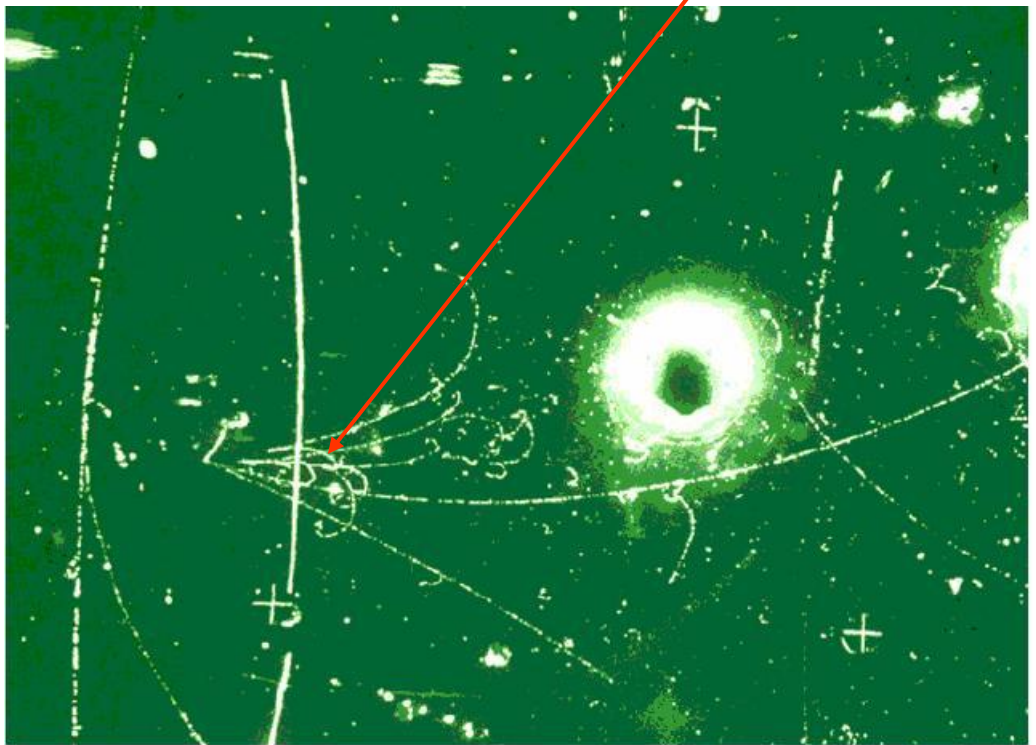
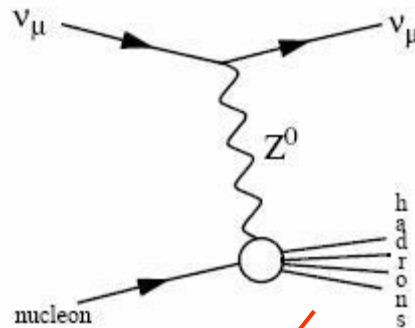
muone



- Nell'accoppiamento del W non compare ovviamente l'angolo di Weimberg, ma è importante misurare questi eventi insieme alle correnti neutre per eliminare molti effetti sistemati nella misura della sezione d'urto degli eventi con corrente neutra.

Correnti neutre "adroniche"

- Nello stesso esperimento furono anche osservate correnti neutre attraverso lo scattering del neutrino (o antineutrino) con un nucleone:



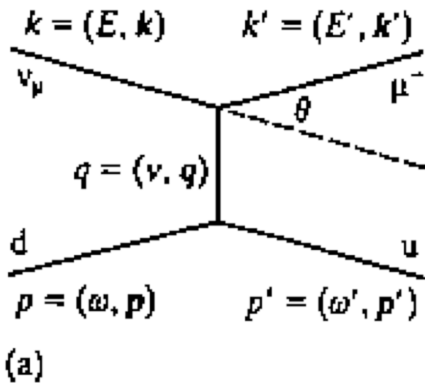
N.B. Non ci sono muoni nello stato finale

- Furono esaminati 83mila fotogrammi di eventi di interazioni di neutrini e 207mila fotogrammi di eventi di antineutrini (per avere grosso modo lo stesso errore statistico). Furono trovati:

Neutrini: 102 eventi corrente neutra e 428 eventi di corrente carica

Antineutrini: 64 eventi di corrente neutra e 148 eventi di cor. car.

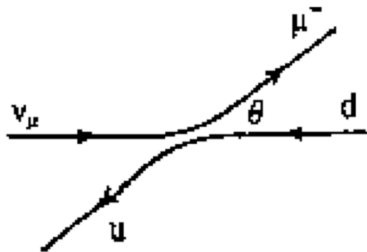
Neutral Current e misura di $\sin\theta_W$



- Introduciamo oltre l'usuale variabile dello scattering anelastico $x=Q^2/2Mv$ la variabile $y=p \cdot q / p \cdot k$
- Si verifica che:

$$y = M(E - E') / ME = v / E$$

- Trascurando le masse delle particelle nel c.m.



$$y = p \cdot (p' - p) / (p \cdot k) \approx p \cdot p' / p \cdot k = \omega\omega'(1 - \cos(\vartheta)) / (0.5s)$$

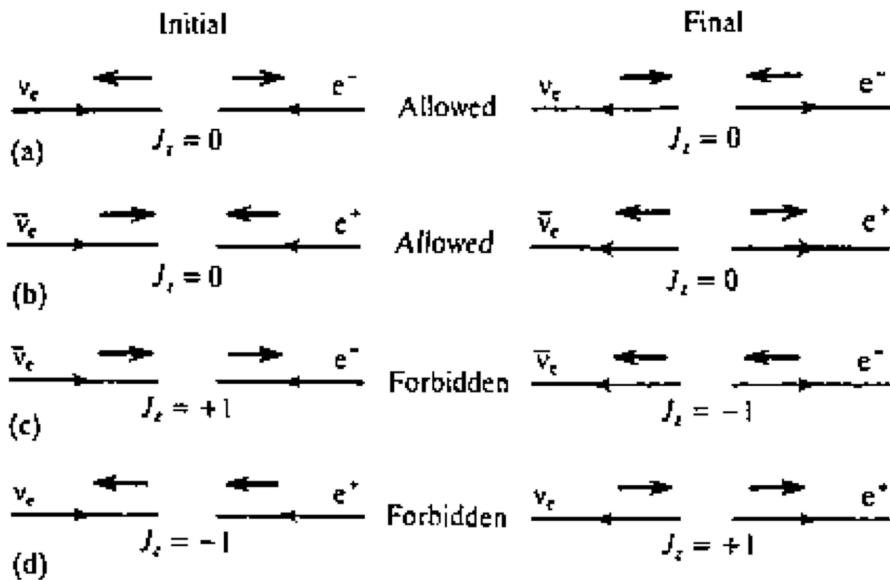
$$s = (p + k)^2 = 2p \cdot k = 2\omega E(1 - \cos(\pi)) = 4\omega E \approx 4\omega\omega'$$

$$y = \frac{1}{2}(1 - \cos(\vartheta))$$

$$0 \leq y \leq 1$$

Neutral Current e misura di $\sin\theta_W$

- Back scattering impedito per alcune configurazioni di elicità'



$$\frac{d\sigma}{d\Omega} (\nu_\mu d \rightarrow \mu^- u) = \frac{d\sigma}{d\Omega} (\overline{\nu}_\mu \bar{d} \rightarrow \mu^+ \bar{u}) = \frac{G^2 \hat{s}}{4\pi^2}$$

$$\frac{d\sigma}{d\Omega} (\nu_\mu \bar{u} \rightarrow \mu^- \bar{d}) = \frac{d\sigma}{d\Omega} (\overline{\nu}_\mu u \rightarrow \mu^+ d) = \frac{G^2 \hat{s}}{16\pi^2} (1 + \cos \theta)^2.$$

- Usando $2(1-y)=1+\cos(\theta)$ e $d\Omega=4\pi dy$

$$\frac{d\sigma}{dy} (\nu_\mu \bar{u} \rightarrow \mu^- \bar{d}) = \frac{d\sigma}{dy} (\overline{\nu}_\mu u \rightarrow \mu^+ d) = \frac{G^2 \hat{s}}{\pi} (1 - y)^2.$$

Neutral Current e misura di $\sin\theta_W$

Considerando target isoscalari, cioè con $Z=A/2$:

$$\frac{d^2\sigma}{dx dy} (\nu_\mu N \rightarrow \mu^- X) = \frac{G^2 x S}{2\pi} [Q(x) + (1-y)^2 \bar{Q}(x)].$$

$$\frac{d^2\sigma}{dx dy} (\bar{\nu}_\mu N \rightarrow \mu^+ X) = \frac{G^2 x S}{2\pi} [\bar{Q}(x) + (1-y)^2 Q(x)].$$

Integrando in x

$$\frac{d\sigma^{\text{CC}}(\nu)}{dy} = \frac{G^2 S}{2\pi} [Q + (1-y)^2 \bar{Q}] \quad (\nu \rightarrow \mu^-)$$

$$\frac{d\sigma^{\text{CC}}(\bar{\nu})}{dy} = \frac{G^2 S}{2\pi} [\bar{Q} + (1-y)^2 Q] \quad (\bar{\nu} \rightarrow \mu^+)$$

$$Q \equiv \int x Q(x) dx = \int x [u(x) + d(x)] dx$$

$$\bar{Q} \equiv \int x \bar{Q}(x) dx = \int x [\bar{u}(x) + \bar{d}(x)] dx$$

Neutral Current e misura di $\sin\theta_W$

- Analogamente per le correnti neutre utilizzando gli stessi argomenti di elicità':

$$\frac{d\sigma(\nu N \rightarrow \nu X)}{dy} = \frac{G^2 s}{2\pi} \{g_L^2 [Q + (1-y)^2 \bar{Q}] + g_R^2 [\bar{Q} + (1-y)^2 Q]\}$$

$$\frac{d\sigma(\bar{\nu} N \rightarrow \bar{\nu} X)}{dy} = \frac{G^2 s}{2\pi} \{g_L^2 [\bar{Q} + (1-y)^2 Q] + g_R^2 [Q + (1-y)^2 \bar{Q}]\}.$$

- Con le definizioni:

$$g_L^2 \equiv (g_L^u)^2 + (g_L^d)^2 \quad \text{and} \quad g_R^2 \equiv (g_R^u)^2 + (g_R^d)^2$$

Neutral Current e misura di $\sin\theta_W$

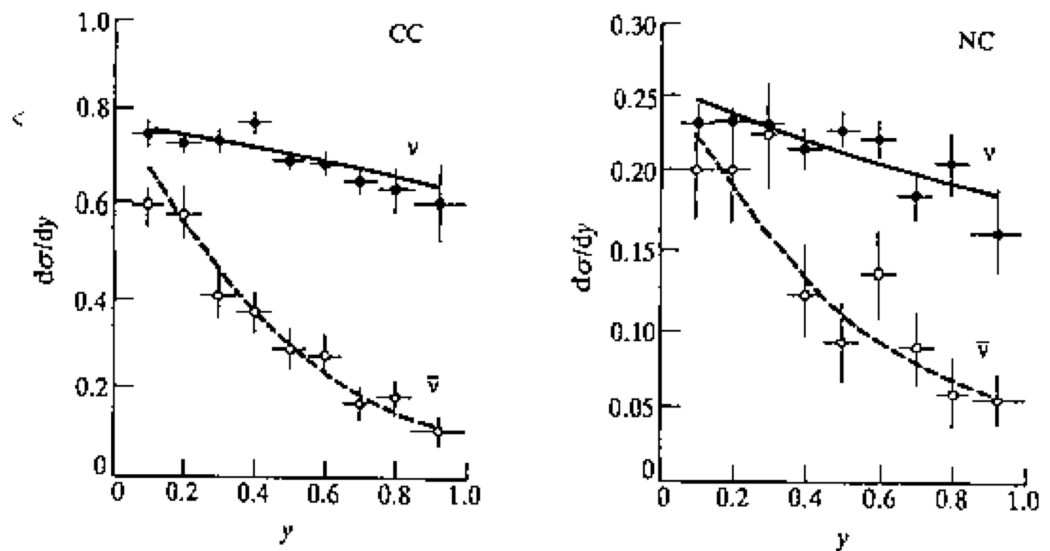


Figure 13.7
Differential cross-sections $d\sigma/dy$ for neutrino- and antineutrino-induced charged-current (CC) and neutral-current (NC) reactions. (Allaby J V et al. 1987 Z Phys C36 (611))

- Da notare che:

$$\frac{d\sigma^{\text{NC}}(\nu)}{dy} = g_L^2 \frac{d\sigma^{\text{CC}}(\nu)}{dy} + g_R^2 \frac{d\sigma^{\text{CC}}(\bar{\nu})}{dy}$$

$$g_L^2 = 0.287 \pm 0.008$$

$$g_R^2 = 0.042 \pm 0.010$$

$$\frac{d\sigma^{\text{NC}}(\bar{\nu})}{dy} = g_L^2 \frac{d\sigma^{\text{CC}}(\bar{\nu})}{dy} + g_R^2 \frac{d\sigma^{\text{CC}}(\nu)}{dy}$$

Esperimento
CHARM '87

- Fornisce una misura degli accoppiamenti Left e Right e verifica l'esistenza di accoppiamenti right handed per le correnti neutre

NC/CC

- E' utile studiare il rapporto NC/CC per eliminare le incertezze sul flusso dei neutrini
- Se, per semplificare, ignoriamo lo scattering sugli anti-quark

$$\frac{d\sigma^{CC}(\nu)}{dy} = \frac{G^2 s Q}{2\pi} \quad \frac{d\sigma^{CC}(\bar{\nu})}{dy} = \frac{G^2 s}{2\pi} (1-y)^2 Q$$

$$\frac{d\sigma^{NC}(\nu)}{dy} = \frac{G^2 s}{2\pi} [g_L^2 + g_R^2 (1-y)^2] Q$$

$$\frac{d\sigma^{NC}(\bar{\nu})}{dy} = \frac{G^2 s}{2\pi} [g_L^2 (1-y)^2 + g_R^2] Q$$

- Integrando in y e formando il rapporto:

$$\frac{\sigma^{NC}(\nu)}{\sigma^{CC}(\nu)} = g_L^2 + \frac{1}{3}g_R^2$$

$$\frac{\sigma^{NC}(\bar{\nu})}{\sigma^{CC}(\bar{\nu})} = g_L^2 + 3g_R^2$$

NC/CC

- Ricordiamo che

$$g_L = \frac{c_V + c_A}{2} = I_3^f - Q^f \sin^2 \theta_W$$

$$g_R = \frac{c_V - c_A}{2} = -Q^f \sin^2 \theta_W$$

	g_L	g_R
u	$\frac{1}{2} - \frac{2}{3} \sin^2 \theta_W$	$-\frac{2}{3} \sin^2 \theta_W$
d	$-\frac{1}{2} + \frac{1}{3} \sin^2 \theta_W$	$\frac{1}{3} \sin^2 \theta_W$

$$R_V = \left(\frac{NC}{CC} \right)_V = \frac{1}{2} - \sin^2 \theta_W + \frac{20}{27} \sin^4 \theta_W$$

$$R_V = \left(\frac{NC}{CC} \right)_V = \frac{1}{2} - \sin^2 \theta_W + \frac{20}{9} \sin^4 \theta_W$$

Prime misure a
Gargamelle molto
imprecise ma
significative:

$$\sin^2 \theta_W = 0.3 \div 0.4$$

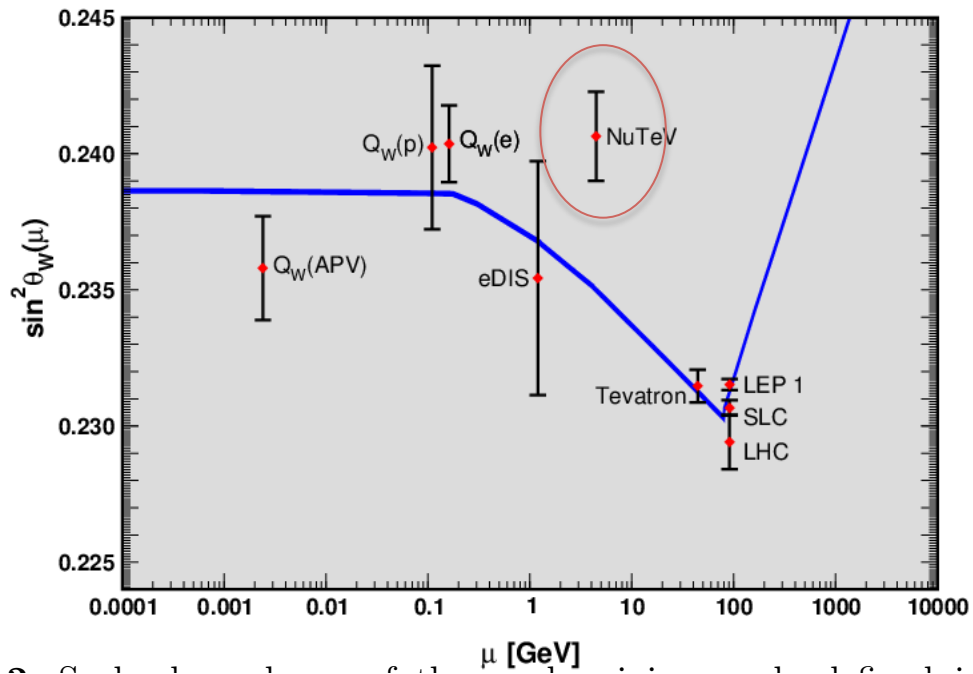
Misure piu' recenti
CCFR:

$$\sin^2(\vartheta_W) = 0.2236 \pm 0.0041$$

Una misura controversa
da NuTeV

$$\sin^2(\vartheta_W) = 0.2277 \pm 0.0016$$

Sommario su $\sin\theta_W$



Charged Lepton couplings from ν_μ & ν_e e scattering

Obtaining an electron anti-neutrino intense beam \rightarrow use a nuclear reactor. Many modern experiment, long and short baseline neutrino experiment are obtained in this way (Double Chooz, Daya Bay, Kamland etc.). Prototype Savannah River reactor experiment in the '50s.



An elegant way of producing a ν_e -enriched neutrino beam was performed at LAMPF. Starting with an 800 MeV proton beam, pions are produced, stopped, and decay at rest producing an isotropic flux of monochromatic muon-neutrinos (30 MeV). In the subsequent muon decay a continuous spectrum of ν_e and $\bar{\nu}_\mu$ (fig. 10) is produced. The spectra can easily be calculated, however, the determination of the absolute neutrino flux requires some dedicated calibration experiments.

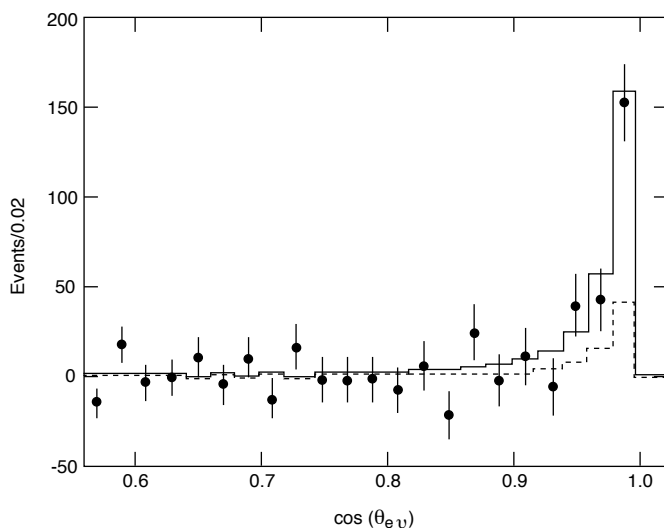


Figure 9: Angular distribution of the measured ν_e - signal in E225. The solid line is the result of the best fit, $N(\nu_e) = 295 \pm 35$ events. The dashed line is the

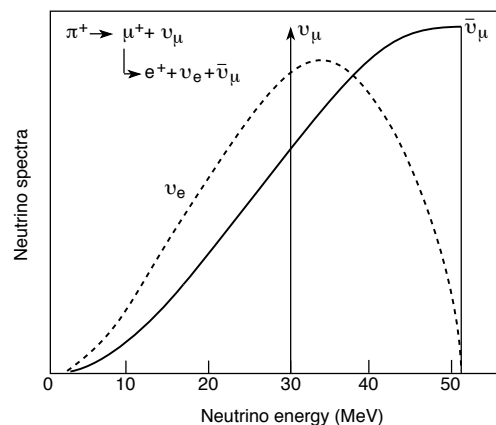


Figure 10: Energy spectrum of the LAMPF neutrino beam produced by pion and muon decay at rest.

Charged Lepton couplings from ν_μ & ν_e e scattering

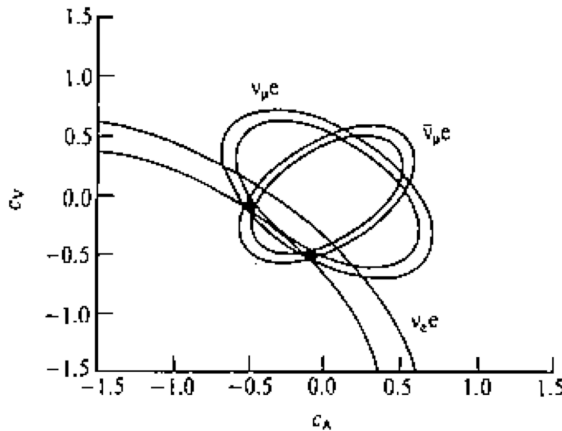


Figure 14.4 Plot of the vector and axial vector couplings, c_V and c_A , of charged leptons to the neutral current. The elliptical contours are the regions allowed by the measured $\nu_\mu e$ and $\bar{\nu}_\mu e$ cross-sections. Only two solutions (shaded) are consistent with recent results on $\nu_e e$ scattering. The standard model favours the solution $c_V \approx 0$ and $c_A \approx -0.5$.

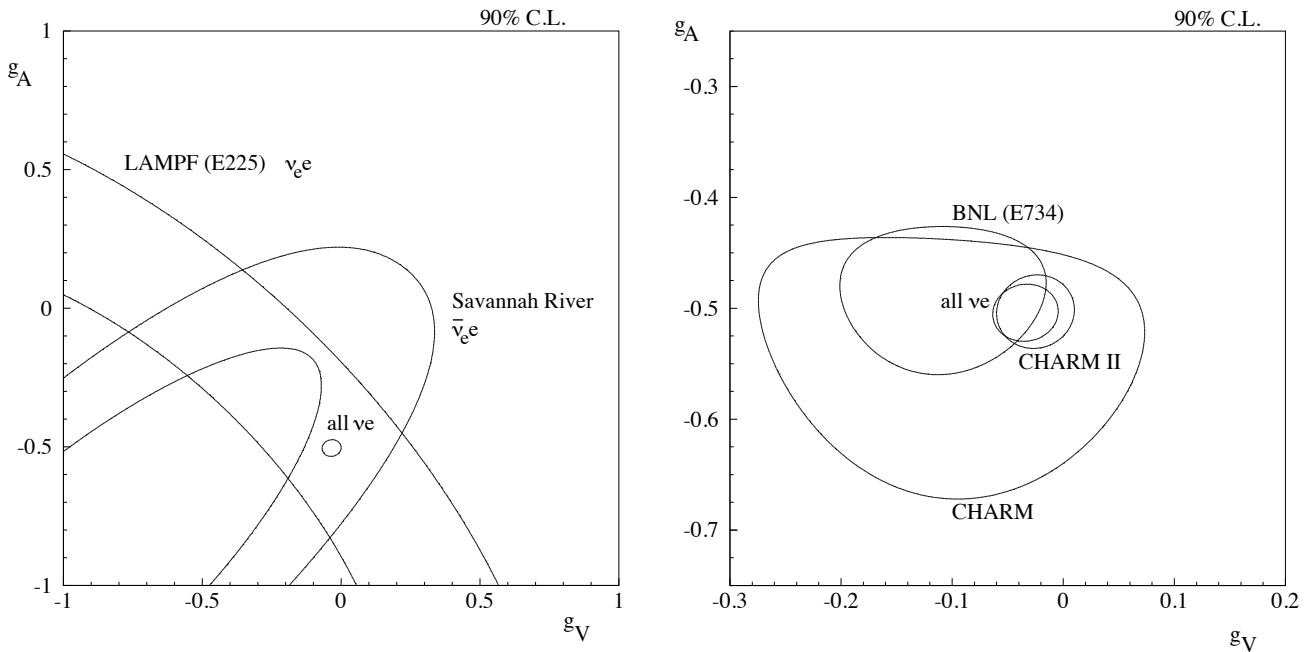


Figure 11: Left: Comparison of results from $\nu_e e$ and $\bar{\nu}_e e$ scattering and the result of the fit to all $\nu_\mu(e) e$ data in the g_V - g_A plane. Right: Comparison of the most recent $\nu_\mu e$ -scattering experiments and the fit to all data. From the solutions of the $\nu_\mu e$ and $\bar{\nu}_\mu e$ data the ones with $g_V \approx -0.5$ or $g_A \approx -0.5$ are selected by $\nu_e e$ and $\bar{\nu}_e e$ experiments. The solution $g_V \approx -0.5$ is excluded by e^+e^- data.

Charged Lepton couplings from ν_μ & ν_e e scattering

Table 3: *Compilation of total cross section and $\sin^2 \theta_{\nu e}$ measurements for all neutrino-electron scattering experiments. Limits are given at the 90% C.L.*

Experiment		$\sigma(\nu_\mu e)/E_\nu$ ($\times 10^{-45} \text{cm}^2 \text{MeV}^{-1}$)	$\sigma(\bar{\nu}_\mu e)/E_\nu$	$\sin^2 \theta_{\nu e}$
Gargamelle (PS)	[18]	< 1.4	$1.0_{-0.9}^{+2.1}$	$0.1 < x < 0.4$
Aachen-Padova (PS)	[31]	1.1 ± 0.6	2.2 ± 1.0	0.35 ± 0.08
Gargamelle (SPS)	[18]	$2.4_{-0.9}^{+1.2}$	< 2.7	$0.12_{-0.07}^{+0.11}$
VMWOF (FNAL)	[32]	$1.4 \pm 0.3 \pm 0.4$		$0.25_{-0.05}^{+0.07} \pm 0.8$
BNL-COL (AGS)	[33]	1.67 ± 0.44		$0.20_{-0.05}^{+0.06}$
15-feet BC (FNAL)	[34]		< 2.1	< 0.37
BEBC-TST (SPS)	[35]		< 3.4	< 0.45
CHARM (SPS)	[20]	$2.2 \pm 0.4 \pm 0.4$	$1.6 \pm 0.3 \pm 0.3$	$0.211 \pm 0.035 \pm 0.011$
BNL E734 (AGS)	[22]	$1.8 \pm 0.2 \pm 0.25$	$1.17 \pm 0.16 \pm 0.13$	$0.195 \pm 0.018 \pm 0.013$
CHARM-II (SPS) [†]	[3]	$1.53 \pm 0.04 \pm 0.12$	$1.39 \pm 0.04 \pm 0.10$	$0.237 \pm 0.007 \pm 0.007$
		$\sigma(\nu_e e)/E_\nu$ ($\times 10^{-42} \text{cm}^2 \text{GeV}^{-1}$)	$\sigma(\bar{\nu}_e e)$ ($\times 10^{-46} \text{cm}^2$)	
Savannah River (Reactor)	[27, 36]		7.6 ± 2.2^a 1.86 ± 0.48^b	0.25 ± 0.05
Kurchatov (Reactor) [‡]	[37]		6.8 ± 4.5	0.29 ± 0.10
LAMPF E225 (LAMPF)	[29]	$10.0 \pm 1.5 \pm 0.9$		0.249 ± 0.063

[†] The result on the cross section was derived from the published result on the coupling constants.

[‡] Preliminary result.

^a Region in visible energy: [1.5..3.0] MeV

^b Region in visible energy: [3.0..4.5] MeV

Diffusioni ν_μ e. CHARM2

Le diffusioni di neutrini e antineutrini da elettroni sono processi puramente leptonici

Il calcolo delle sezioni d'urto è quindi privo di incertezze teoriche (presenti nella diffusione da nuclei), ma le sezioni d'urto sono molto piccole e quindi la loro misura è ardua

Determiniamo l'angolo di Weinberg misurando il rapporto delle sezioni d'urto

$$\nu_\mu e^- \rightarrow \nu_\mu e^- \quad \text{e} \quad \bar{\nu}_\mu e^- \rightarrow \bar{\nu}_\mu e^-$$

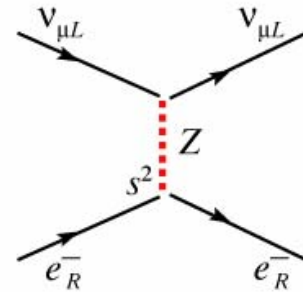
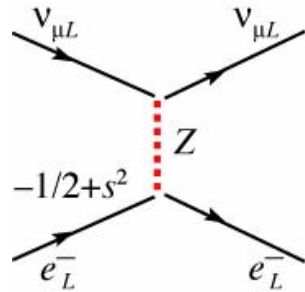
La cinematica è tale che la diffusione avviene ad angoli piccoli, quindi i momenti trasferiti sono $\ll m_Z$ anche se i neutrini hanno energie delle decine di GeV

$$\sigma \propto s \propto G_F^2 m_e E_\nu$$

$$\frac{\sigma(\nu_\mu e \rightarrow \nu_\mu e)}{\sigma(\nu_\mu N \rightarrow X)} \approx 10^{-4}$$

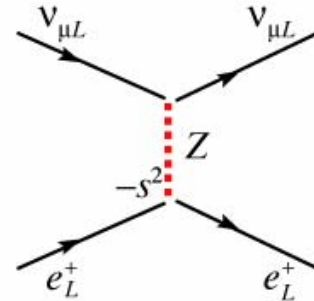
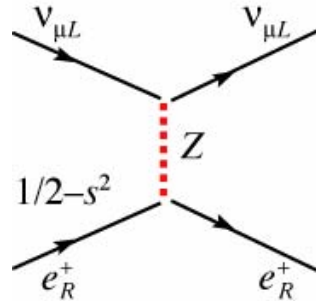
Calcolo del rapporto delle sezioni d'urto (1/2)

$$\sigma(\nu_\mu e^- \rightarrow \nu_\mu e^-)$$

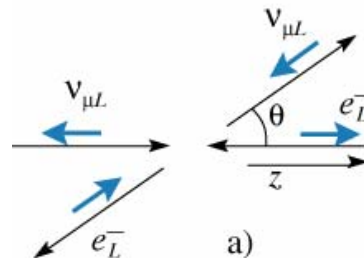


Sono distinguibili misurando le elicità
 \Rightarrow si sommano i quadrati

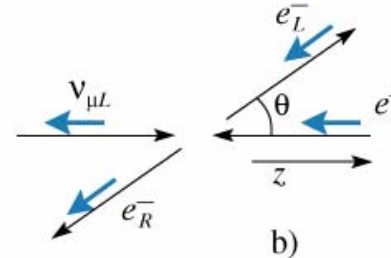
$$\begin{aligned} \sigma(\bar{\nu}_\mu e^- \rightarrow \bar{\nu}_\mu e^-) &= \\ &= \sigma(\nu_\mu e^+ \rightarrow \nu_\mu e^+) \end{aligned}$$



$$L+L \rightarrow L+L$$



$$J=0, J_z=0$$

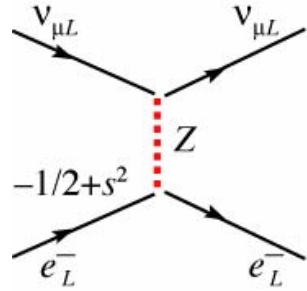


$$L+R \rightarrow L+R$$

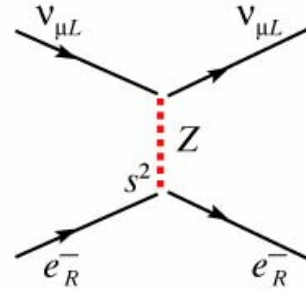
$$J=1, J_z=-1, \text{ uno su tre}$$

Calcolo del rapporto delle sezioni d'urto (2/2)

$L+L \rightarrow L+L$

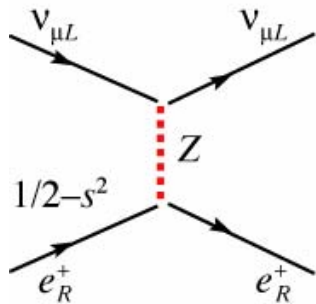


$L+R \rightarrow L+R \Rightarrow 1/3$

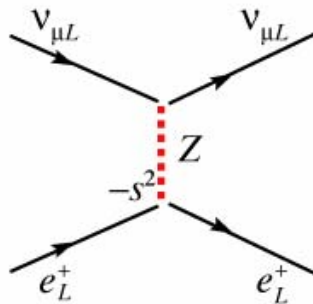


$$\sigma_{\nu_{\mu}e} = \frac{2G_F^2 m_e E_{\nu}}{\pi} \left[\left(-\frac{1}{2} + \sin^2 \theta_W \right)^2 + \frac{1}{3} \sin^4 \theta_W \right]$$

$L+L \rightarrow L+L \Rightarrow 1/3$



$L+R \rightarrow L+R$



$$\sigma_{\bar{\nu}_{\mu}e} = \frac{2G_F^2 m_e E_{\nu}}{\pi} \left[\frac{1}{3} \left(-\frac{1}{2} + \sin^2 \theta_W \right)^2 + \sin^4 \theta_W \right]$$

$$R = \frac{\sigma_{\nu_{\mu}e} / E_{\nu}}{\sigma_{\bar{\nu}_{\mu}e} / E_{\bar{\nu}}} = 3 \frac{1 - 4 \sin^2 \theta_W + \frac{16}{3} \sin^4 \theta_W}{1 - 4 \sin^2 \theta_W + 16 \sin^4 \theta_W}$$

Misura del rapporto dei flussi

$$R = \frac{\sigma_{\nu_{\mu}e} / E_{\nu}}{\sigma_{\bar{\nu}_{\mu}e} / E_{\bar{\nu}}} = 3 \frac{1 - 4 \sin^2 \theta_W + \frac{16}{3} \sin^4 \theta_W}{1 - 4 \sin^2 \theta_W + 16 \sin^4 \theta_W}$$

I fasci di neutrini e antineutrini non sono monocromatici. Hanno spettri di energia un po' diversi

Il rapporto misurato è

$$R_{\text{exp}} = \frac{N(\nu_{\mu}e) \int \Phi_{\bar{\nu}}(E_{\bar{\nu}}) E_{\bar{\nu}} dE_{\bar{\nu}}}{\int \Phi_{\nu}(E_{\nu}) E_{\nu} dE_{\nu} N(\bar{\nu}_{\mu}e)}$$

Bisogna misurare a parte il rapporto dei flussi

$$F \equiv \frac{\int \Phi_{\bar{\nu}_{\mu}}(E_{\bar{\nu}}) E_{\bar{\nu}} dE_{\bar{\nu}}}{\int \Phi_{\nu_{\mu}}(E_{\nu}) E_{\nu} dE_{\nu}}$$

Misurati i ratei di diversi processi di sezione d'urto nota

Quattro metodi indipendenti, per controllo

Determinato F a $\pm 2\%$

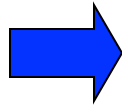
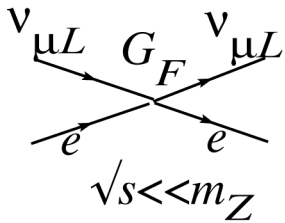
Obiettivo dell'esperimento $\Rightarrow \Delta \sin^2 \theta_W = \pm 0.005$

Diffusioni ν_μ e. CHARM2

Le diffusioni di neutrini e antineutrini da elettroni sono processi puramente leptonici

Il calcolo delle sezioni d'urto è quindi privo di incertezze teoriche (presenti nella diffusione da nuclei), ma le sezioni d'urto sono molto piccole e quindi la loro misura è ardua

$$\frac{\sigma(\nu_\mu e \rightarrow \nu_\mu e)}{\sigma(\nu_\mu N \rightarrow X)} \approx 10^{-4}$$



$$\sigma_{\nu_\mu e} = \frac{2G_F^2 m_e E_\nu}{\pi} \left[\left(-\frac{1}{2} + \sin^2 \theta_W \right)^2 + \frac{1}{3} \sin^4 \theta_W \right]$$

$$\sigma_{\bar{\nu}_\mu e} = \frac{2G_F^2 m_e E_\nu}{\pi} \left[\frac{1}{3} \left(-\frac{1}{2} + \sin^2 \theta_W \right)^2 + \sin^4 \theta_W \right]$$

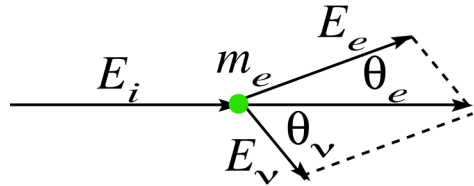
Strategia sperimentale

misurare sezioni d'urto di neutrini e antineutrini e prendere rapporto

$$R = \frac{\sigma_{\nu_\mu e} / E_\nu}{\sigma_{\bar{\nu}_\mu e} / E_{\bar{\nu}}} = 3 \frac{1 - 4 \sin^2 \theta_W + \frac{16}{3} \sin^4 \theta_W}{1 - 4 \sin^2 \theta_W + 16 \sin^4 \theta_W}$$

Urto elastico neutrino-elettrone

Il segnale cercato è molto raro, la sua firma è solo la presenza di un elettrone. Come distinguere dai fondi? **sfruttare la cinematica**



Le energie in gioco sono alte: quantità \approx energie

$$E_i + m_e = E_e + E_\nu$$

$$0 = E_\nu \sin \theta_\nu + E_e \sin \theta_e$$

$$E_i = E_\nu \cos \theta_\nu + E_e \cos \theta_e$$



$$E_i = E_\nu + E_e - E_\nu (1 - \cos \theta_\nu) - E_e (1 - \cos \theta_e)$$

$$E_i = E_i + m_e - E_\nu (1 - \cos \theta_\nu) - E_e (1 - \cos \theta_e)$$

$$E_e (1 - \cos \theta_e) = m_e - E_\nu (1 - \cos \theta_\nu) \leq m_e$$

$$1 - \cos \theta_e \leq \frac{m_e}{E_e}$$

m_e/E_e è piccolissimo, quindi il coseno è molto vicino a 1

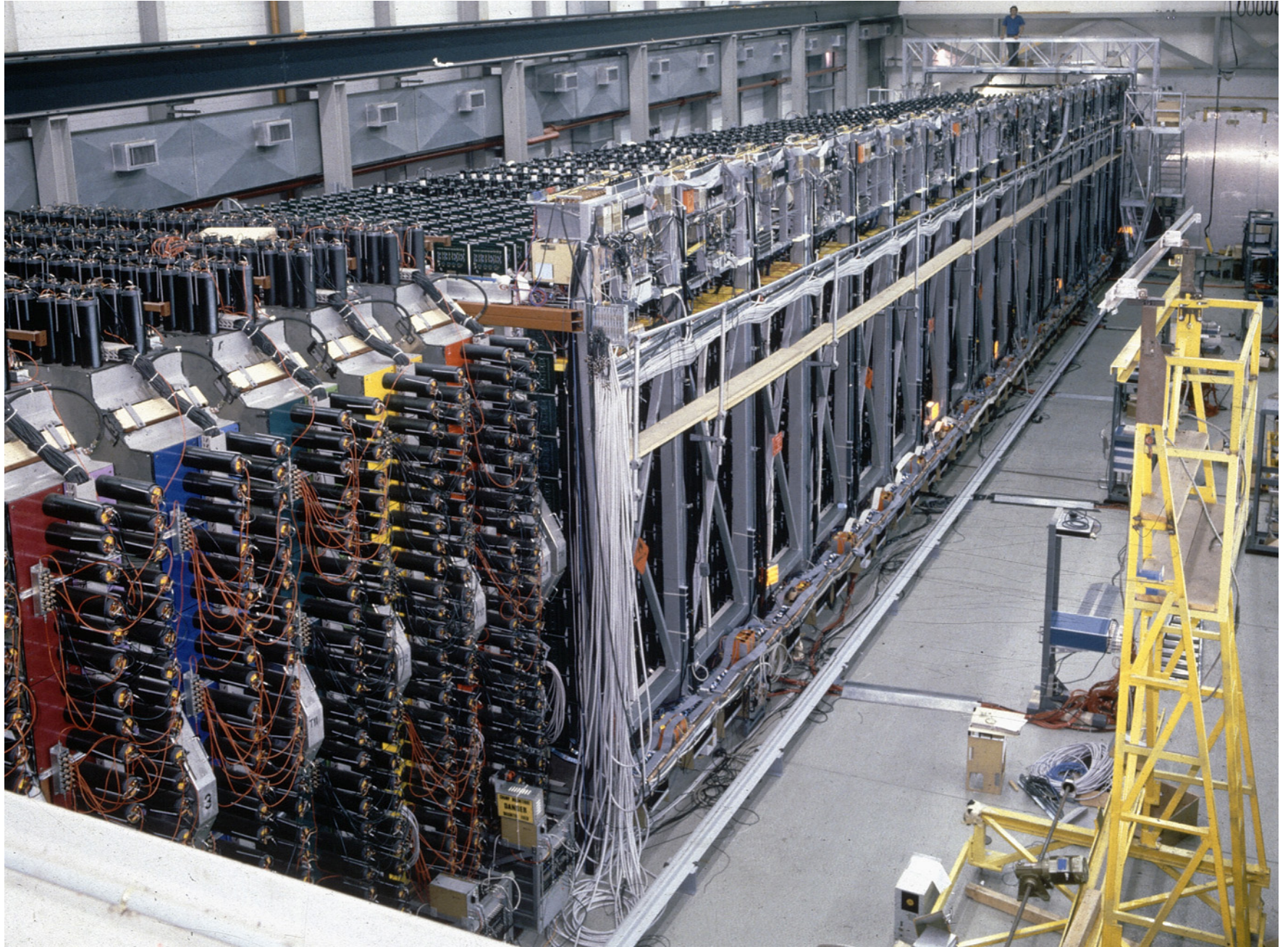
$$1 - \cos \theta_e \approx \frac{\theta_e^2}{2}$$



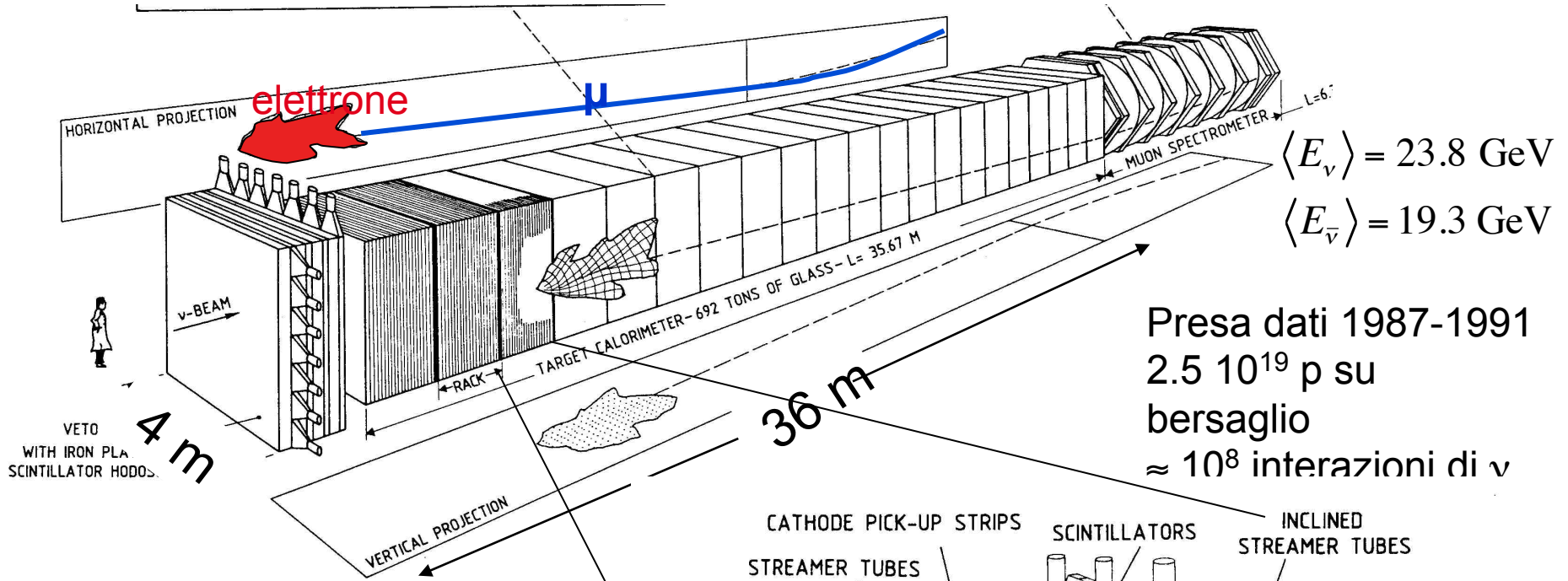
$$E_e \theta_e^2 \leq 2m_e$$

La variabile cinematica fondamentale per distinguere il segnale dal fondo è il prodotto dell'energia dell'elettrone per il quadrato dell'angolo di diffusione. Bisogna misurare bene entrambe, soprattutto l'angolo (al quadrato)

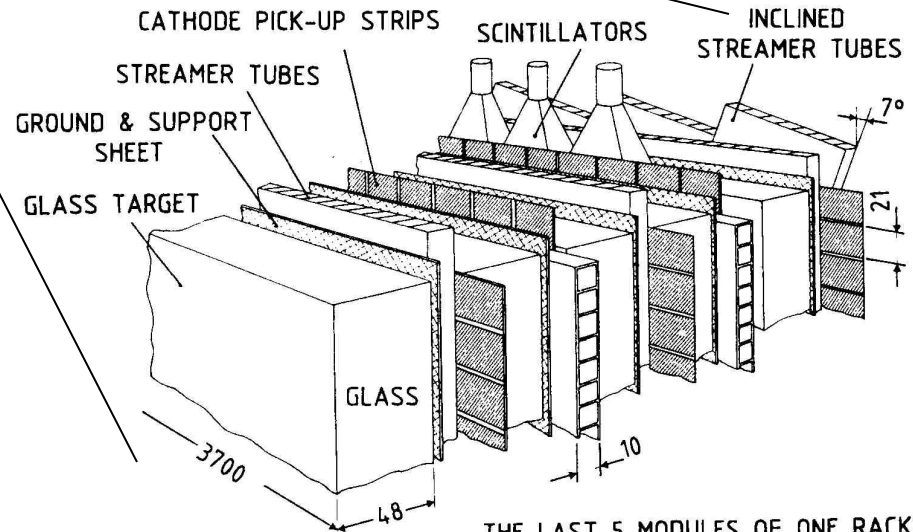
CHARM2. L'apparato



CHARM2. L'apparato



Preso dati 1987-1991
 $2.5 \cdot 10^{19}$ p su bersaglio
 $\approx 10^8$ interazioni di ν



1. Grande massa: 692t

2. Buona risoluzione angolare

Assorbitore di basso Z (vetro)

$$\sigma(\theta)/\theta \propto Z/\sqrt{E}$$

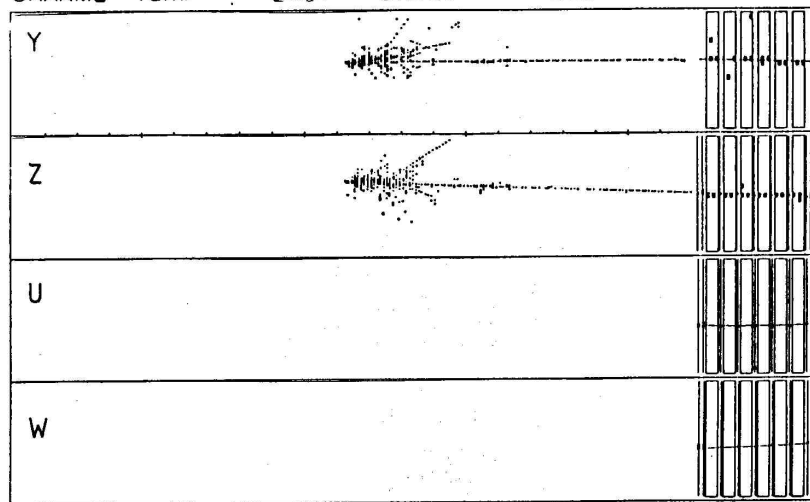
3. Granularità per definizione del vertice (distinzione e da π^0)

Elementi traccianti a grana fine

Tubi di Iarocci con celle di 1cm

CHARM2 un mu e un e

a) CHARM2 run# 2481 event# 555

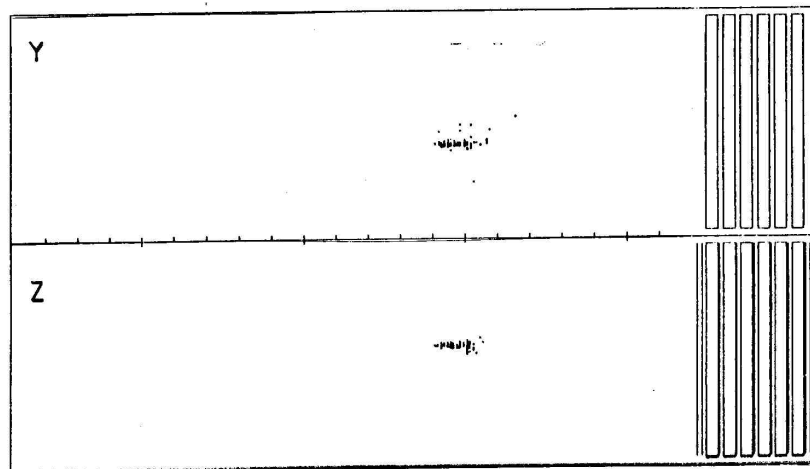


Calorimeter

Muon spectrometer

C.C.

b) CHARM2 run# 845 event# 2797



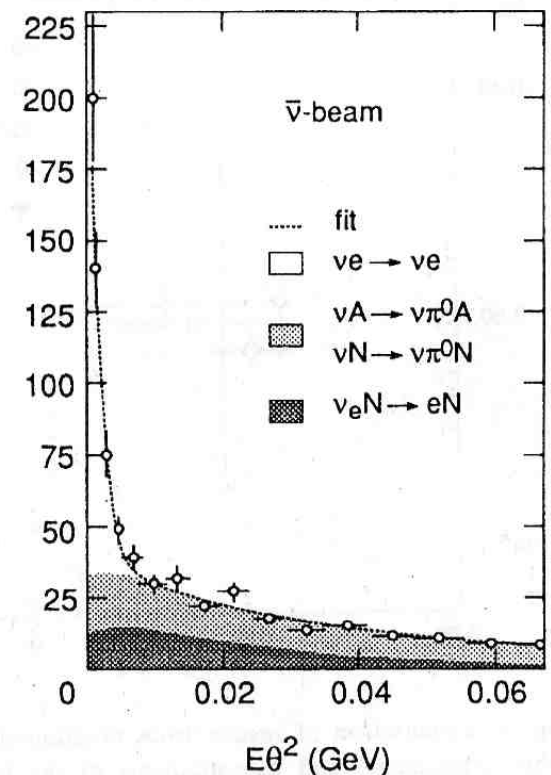
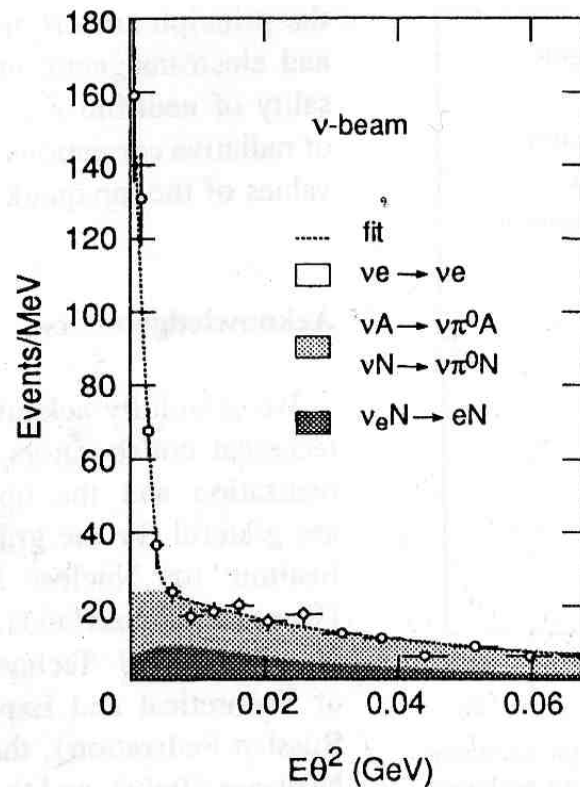
Candid.

ν_e

Fig. 11

CHARM2

Il fondo principale è dovuto a quelle interazioni di “corrente neutra”, cioè senza μ nello stato finale, che danno π^0 . I γ dal decadimento del π^0 danno sciame come l’elettrone. Per distinguere si può usare il deposito di energia nello scintillatore. Infatti $\pi^0 \rightarrow 2\gamma \rightarrow 4e$ e lo scintillatore è attraversato da 4 particelle al minimo di ionizzazione invece che da una. Però bisogna che non sia ancora iniziato lo sciame. Selezionare gli eventi nelle lastre di vetro subito a monte di uno stato di scintillatori. A prezzo di ridurre la statistica si migliora il rapporto segnale/fondo e si può verificare se il fondo è compreso



Risultato finale (1994)

$$\sin^2_{\nu_e} \theta_W = 0.2324 \pm 0.0058(\text{stat.}) \pm 0.0059(\text{sist})$$

Charged Lepton couplings

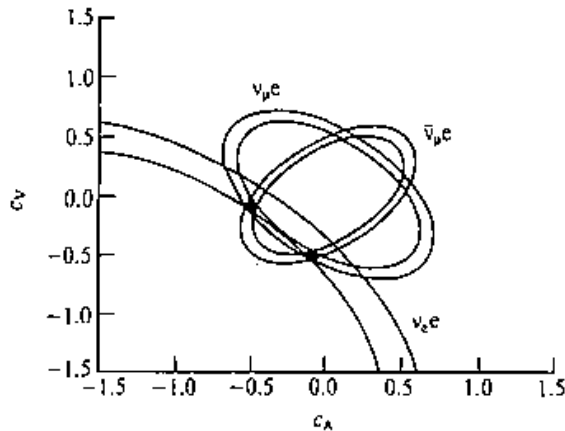
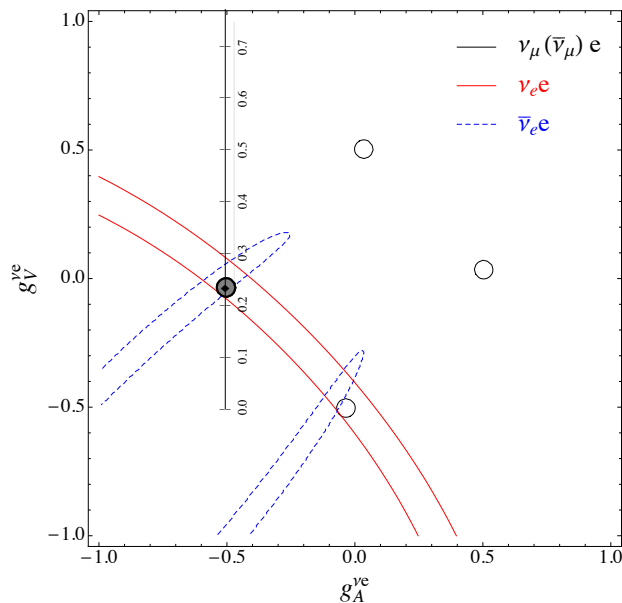
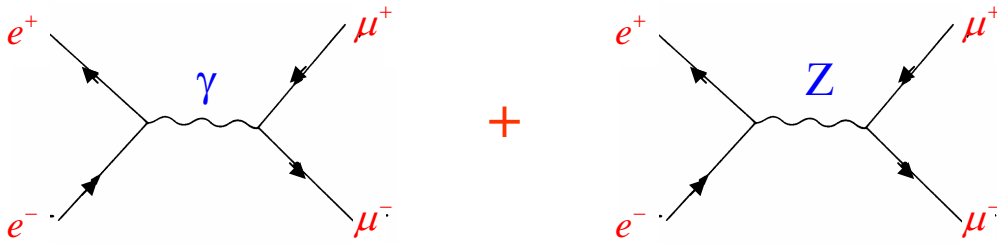


Figure 14.4 Plot of the vector and axial vector couplings, c_V and c_A , of charged leptons to the neutral current. The elliptical contours are the regions allowed by the measured ν_μ - e and $\bar{\nu}_\mu$ - e cross-sections. Only two solutions (shaded) are consistent with recent results on ν_e - e scattering. The standard model favours the solution $c_V \approx 0$ and $c_A \approx -0.5$.



Interferenza elettrodebole nel processo $e^+e^- \rightarrow \mu^+\mu^-$

- Il processo $e^+e^- \rightarrow \mu^+\mu^-$ viene descritto, all'ordine più basso, dai due seguenti diagrammi di Feynman:



- Per il calcolo della sezione d'urto occorre sommare le ampiezze dei due diagrammi:

$$\sigma \propto |A_\gamma + A_Z|^2 = |A_\gamma|^2 + |A_Z|^2 + 2\text{Re}(A_\gamma \cdot A_Z^*)$$

- Questo processo fu studiato in particolare al collider Petra del laboratorio Desy di Amburgo a cavallo degli anni 80.
- Ad esempio, per un'energia del centro di massa di $\sqrt{s}=34$ GeV, il valore dei tre termini vale approssimativamente:

$$|A_\gamma|^2 \approx 0.1 \text{ nb} \quad ; \quad |A_Z|^2 \approx 1.5 \cdot 10^{-4} \text{ nb} \quad ; \quad 2\text{Re}(A_\gamma \cdot A_Z^*) \approx 8 \cdot 10^{-3} \text{ nb}$$

- Come si vede il termine di interferenza dà un contributo significativo; questo si manifesta sperimentalmente come una asimmetria nella sezione d'urto differenziale del processo, che è funzione dell'energia del centro di massa (si ricorda che le interazioni e.m. non violano la parità mentre quelle deboli la violano).

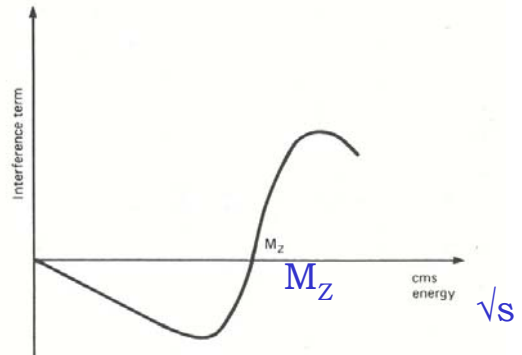
- Viene pertanto definita operativamente l'asimmetria avanti/indietro nel modo seguente:

$$A(s) = \frac{N_F - N_B}{N_F + N_B}$$

Dove N_F e N_B sono il numero di eventi che presentano un muone positivo nell'emisfero in avanti e all'indietro (definito rispetto alla direzione di volo del positrone incidente)

Interferenza elettrodebole nel processo $e^+e^- \rightarrow \mu^+\mu^-$

Il termine di interferenza, e quindi l'asimmetria, dipende da \sqrt{s} . Alla massa dello Z si annulla e poi cambia segno.

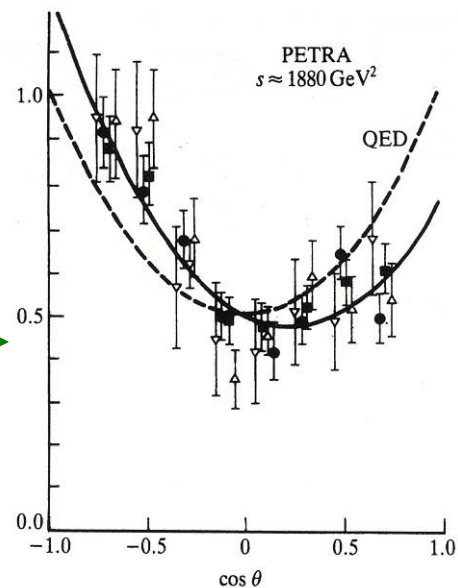


- Per energie del centro di massa tali che $\sqrt{s} \ll M_Z$ come quelle di Petra l'asimmetria avanti/indietro ha la seguente dipendenza dalle costanti di accoppiamento dello Z con i fermioni:

$$A(s) = \frac{\sigma_F - \sigma_B}{\sigma_F + \sigma_B} = -\frac{3s}{4\sqrt{2}\pi\alpha} C_A^e C_A^\mu$$

Distribuzione angolare della reazione $e^+e^- \rightarrow \mu^+\mu^-$ a $\sqrt{s} \approx 43$ GeV. Il best fit alla distribuzione angolare da l'asimmetria di:

$$A(s) = \frac{N_F - N_B}{N_F + N_B} = -0.18 \pm 0.2$$



- L'asimmetria avanti/indietro dipende solo dall'accoppiamento assiale che non contiene l'angolo di Weimberg ($C_A = I_3$). Tuttavia dalla misura della sezione d'urto (totale e/o differenziale) confrontata con quella di QED (scambio solo del fotone) si può determinare l'angolo di Weimberg. Da questi dati si trova:

$$\sin^2 \theta_w = 0.210 \pm 0.019 \text{ (stat.)} \pm 0.013 \text{ (syst.)}$$

- Prendendo il valore di $\sin^2 \theta_w$ e di M_Z misurato da altri esperimenti, si può misurare CA^2 (assumendo l'universalità leptonica) e controllare se il valore misurato è in accordo con le previsioni del MS ($C_A = I_3 = -1/2$)